

УДК 537.94

© 1991

ЭЛЕКТРОАКУСТИЧЕСКИЙ ЭФФЕКТ  
В КРИСТАЛЛАХ  $\{\text{N}(\text{CH}_3)_4\}_2\text{ZnCl}_4$  И  $\{\text{N}(\text{CH}_3)_4\}_2\text{CoCl}_4$   
В ОБЛАСТИ ПЕРЕХОДА  
ИЗ НЕСОРАЗМЕРНОЙ В ПОЛЯРНУЮ ФАЗУ

A. B. Китык, O. M. Мокрый, O. Г. Влох

Исследованы температурные зависимости коэффициента линейного электроакустического эффекта  $f_{443}$  кристаллов  $\{\text{N}(\text{CH}_3)_4\}_2\text{ZnCl}_4$  и  $\{\text{N}(\text{CH}_3)_4\}_2\text{CoCl}_4$  в области фазовых переходов. Наблюдаемые аномалии электроакустического эффекта при фазовом переходе несоразмерная—полярная фаза связываются с его температурным смещением под влиянием электрического поля.

Коэффициенты линейного электроакустического эффекта  $f$ , представляющие собой тензор пятого ранга, описывают изменения скорости упругих волн  $V$  под действием электрического поля  $E$  [1]

$$\Delta V/V = fE/2c, \quad (1)$$

где  $c$  — модуль упругости. Температурные зависимости электроакустических коэффициентов в области фазовых переходов ранее изучались лишь для несобственных сегнетоэлектрических кристаллов молибдата гадолиния и тербия [1, 2]. В настоящей работе на примере кристаллов тетраметиламмония тетрахлорцинката  $\{\text{N}(\text{CH}_3)_4\}_2\text{ZnCl}_4$  (TMATX—Zn) и тетраметиламмония тетрахлоркобальтата  $\{\text{N}(\text{CH}_3)_4\}_2\text{CoCl}_4$  (TMATX—Co) впервые изучены особенности аномального температурного поведения линейного электроакустического эффекта в области их перехода из несоразмерной фазы в полярную. В исходной парафазе указанные соединения обладают структурой типа  $\beta\text{-K}_2\text{SO}_4$  (пространственная группа симметрии  $D_{2h}^{10}$ ) [3]. С понижением температуры в кристаллах TMATX—Zn (TMATX—Co) при  $T_c=296.6$  К (293.6 К) происходит фазовый переход в несоразмерную фазу и далее при  $T_c=280$  К ( $T_{c_1}=281$  К) — в соразмерную несобственную сегнетоэлектрическую фазу с пространственной группой симметрии  $C_{2v}^9$  и волновым вектором модуляции  $k_0=(2/5)a^*$  ( $a^*=2\pi/a$  — параметр обратной решетки) [3]. Возникновение несоразмерной фазы в обоих кристаллах обусловлено конденсацией мягкой моды в точке зоны Бриллюэна  $k_0=(2/5+\delta)a^*$ , где  $\delta \ll 1$  — параметр несоразмерности. В сегнетоэлектрической фазе спонтанная поляризация направлена вдоль кристаллографической оси  $c$ . С дальнейшим уменьшением температуры кристаллы TMATX—Zn при  $T_L=276$  К испытывают фазовый переход из несобственной сегнетоэластической фазы (пространственная группа симметрии  $C_{2h}^5$ ) с утроенным периодом элементарной ячейки вдоль  $a$ -оси. В случае же TMATX—Co имеют место переходы при  $T_{c_2}=279.3$  К в еще одну несоразмерную фазу с волновым вектором модуляции  $k_0=(2/5-\delta)a^*$  и далее при  $T_L=277.5$  К — в сегнетоэластическую фазу, аналогичную к кристаллам TMATX—Zn. Упругие свойства TMATX—Zn и TMATX—Co в области указанных фазовых переходов изучались ранее в [4, 5].

Кристаллы ТМАТХ—Zn (TМАТХ—Co) выращивались из водного раствора соединений  $N(CH_3)_4Cl$  и  $ZnCl_2$  ( $CoCl_2$ ), взятых в стехиометрическом соотношении методом медленного испарения при постоянной температуре ( $T=300$  К). Установка образцов в кристаллографической системе координат проводилась рентгеновским методом. При этом оси выбирались так, что  $b=Y > a=X > c=Z$  ( $b \approx \sqrt{3}c$ ,  $a$  — псевдогексагональная ось [3]). Образцы изготавливались в виде параллелепипедов с типичными размерами примерно  $4 \times 4 \times 5$  мм. Изменения скорости ультразвуковых волн под влиянием электрического поля определялись эхо-импульсным методом на частоте 10 МГц, согласно методики, описанной в [6], с относительной точностью измерений  $10^{-4}$ — $10^{-5}$ . Точность стабилизации температуры образцов в процессе электроакустических исследований составляла 0.02 К.

В настоящей работе изучалось влияние электрического поля  $E$ , приложенного вдоль кристаллографической оси  $c$  (компоненты  $E_z$ ), на скорость поперечной упругой волны  $V_4$  ( $\mathbf{q} \parallel Z$ ;  $S \parallel Y$ ;  $\mathbf{q}$  — волновой вектор ультразвуковой волны,  $S$  — ее поляризация). В такой геометрии эксперимента фактически определялся эффективный коэффициент линейного электроакустического эффекта  $f_{443}^* = f_{23233}/2c_{2323}$ . Приложение электрического поля вдоль двух других кристаллографических осей не сопровождалось какими-либо заметными изменениями скорости  $V_4$  во всех вышеперечисленных фазах. Последнее объясняется особенностью вида полярного тензора пятого ранга для точечных групп симметрии  $mm$ ,  $mm2$  и  $2/m$ , в частности коэффициенты линейного электроакустического эффекта  $f_{442}^* = f_{441}^* = 0$ .

Температурные зависимости эффективного электроакустического коэффициента  $f_{443}^*$  кристаллов ТМАТХ—Zn (а) и ТМАТХ—Co (б) приведены на рис. 1. В параполярной ( $T > T_c$ ) и сегнетоэластической ( $T < T_L$ ) фазах линейный электроакустический эффект в пределах точности эксперимента не наблюдается, что обусловлено их центросимметричностью ( $f_{443}^* = 0$ ). В кристаллах ТМАТХ—Zn (рис. 1, а) переход из сегнетоэлектрической в сегнетоэлектрическую фазу сопровождается скачком электроакустического коэффициента  $f_{443}^*$ . При дальнейшем увеличении температуры его величина вначале несколько уменьшается, а затем существенно увеличивается, испытывая отчетливый максимум в окрестности перехода из сегнетоэлектрической в несоразмерную фазу. При охлаждении аномалии  $f_{443}^*(T)$  в окрестности указанных фазовых переходов смешены по температуре на величину температурного гистерезиса  $\Delta T_L = T_L^u - T_L^o \approx 1$  К ( $\Delta T_c = T_c^u - T_c^o \approx 0.8$  К). В несоразмерной фазе электроакустический эффект обнаружен лишь в узкой температурной области ( $\sim 1.5$  К), прилегающей к  $T_c^o$  ( $T_L^o$ ). В случае кристаллов ТМАТХ—Co (рис. 1, б) аномалии зависимостей  $f_{443}^*(T)$  имеют место в окрестности температур фазовых переходов  $T_L^u$  ( $T_L^o$ ),  $T_{c1}^u$  ( $T_{c1}^o$ ) и  $T_{c2}^u$ . При этом заметный электроакустический эффект наблюдается в узкой температурной области ( $\sim 1$  К) выше  $T_{c1}^u$  ( $T_{c1}^o$ ), а также в несоразмерной фазе, лежащей в интервале температур  $T_L^u$  ( $T_L^o$ )— $T_{c2}^u$ . Подобно кристаллам ТМАТХ—Zn положение аномалий  $f_{443}^*(T)$  в области фазовых переходов из несоразмерной в сегнетоэлектрическую и сегнетоэластическую фазы характеризуется температурным гистерезисом  $\sim 0.5$  К. Измерение электроакустического эффекта в непосредственной близости к  $T_L^u$  ( $T_L^o$ ) усложняется сильным затуханием ультразвука.

Природа аномалий температурных зависимостей электроакустических коэффициентов в области фазовых переходов кристаллов ТМАТХ—Zn и ТМАТХ—Co становится понятной, если рассмотреть температурные зависимости скорости поперечной упругой волны  $V_4$  при различных величинах смещающего постоянного электрического поля  $E_z$ . Такие зависимости в области обсуждаемых фазовых переходов для кристаллов ТМАТХ—Zn (а) и ТМАТХ—Co (б) приведены на рис. 2. Переход в несобственную сегнетоэластическую фазу, как было показано ранее в [4, 5], сопровождается существенным скачкообразным увеличением скорости  $V_4$ , поэтому в силу увеличенного масштаба указанных рисунков зависимости  $V_4(T)$  ниже  $T_L$  на них не показаны. В кристаллах ТМАТХ—Zn (рис. 2, а) переход из сегнетоэлектрической в несоразмерную фазу при  $T=T_c$  характер-

ризуется скачком скорости  $V_4$ . Под влиянием электрического поля происходит смещение  $T_c$  в область высоких температур, а также «размытие» скачка  $V_4$  в окрестности перехода сегнетоэлектрическая—несоразмерная фаза. В случае кристаллов ТМАТХ—Со (рис. 2, б) в области температур переходов в сегнетоэлектрическую фазу ( $T_{c_1}$  и  $T_{c_2}$ ) наблюдаются изломы

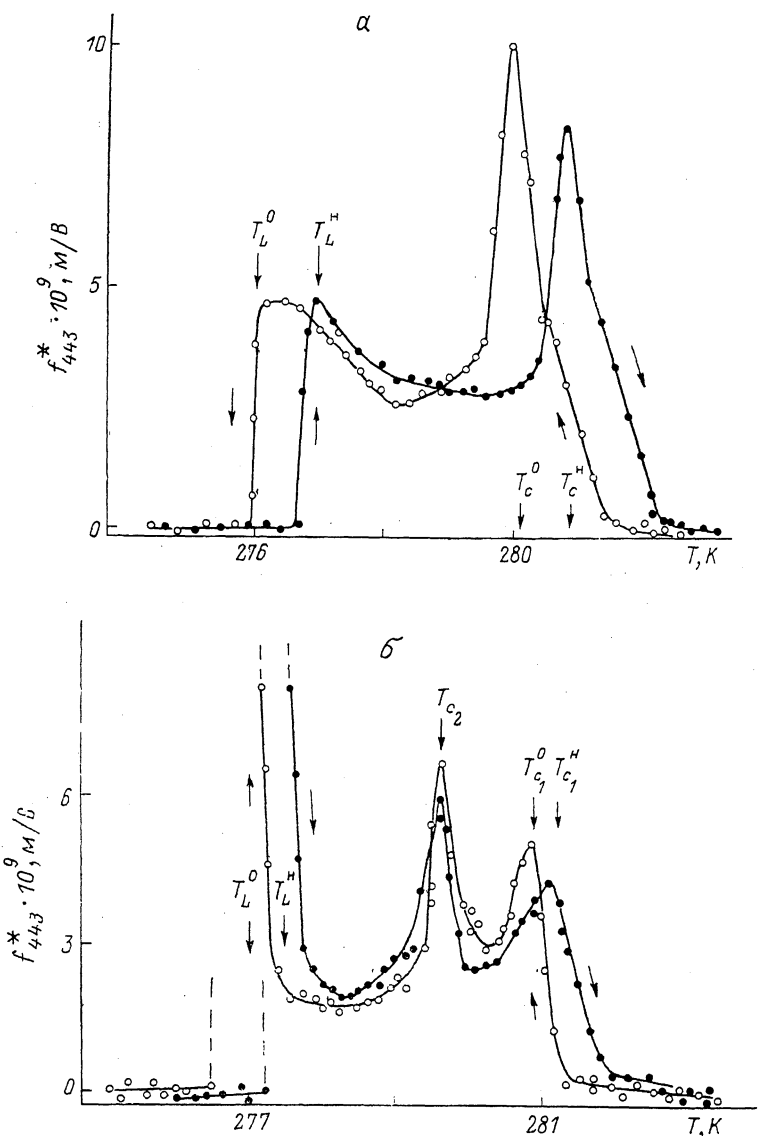


Рис. 1. Температурные зависимости электроакустического коэффициента  $f_{443}^*$  кристаллов ТМАТХ—Zn (а) и ТМАТХ—Со (б).

Темные точки — нагревание, светлые — охлаждение.

зависимости  $V_4(T)$ . Приложение электрического поля  $E_3$  к образцам этого соединения также сопровождается температурным смещением и размытием аномалий  $V_4(T)$  в окрестности указанных переходов. Для обоих кристаллов температура перехода в сегнетоэластическую фазу  $T_L$  в присутствии электрического поля понижается. Полученные на основе проведенных исследований фазовые  $E_3$ ,  $T$ -диаграммы приведены на вставках рис. 2, а, б. Из последних, в частности, следует, что температурная область существования соразмерной сегнетоэлектрической фазы под влиянием приложенного вдоль полярной оси электрического поля уширяется.

Качественно этот факт легко объясняется, если в выражении для свободной энергии учесть смешанный инвариант вида  $E_3 \cos 5\varphi$  ( $\varphi$  — амплитуда и фаза параметра порядка). Указанный инвариант всегда приводит

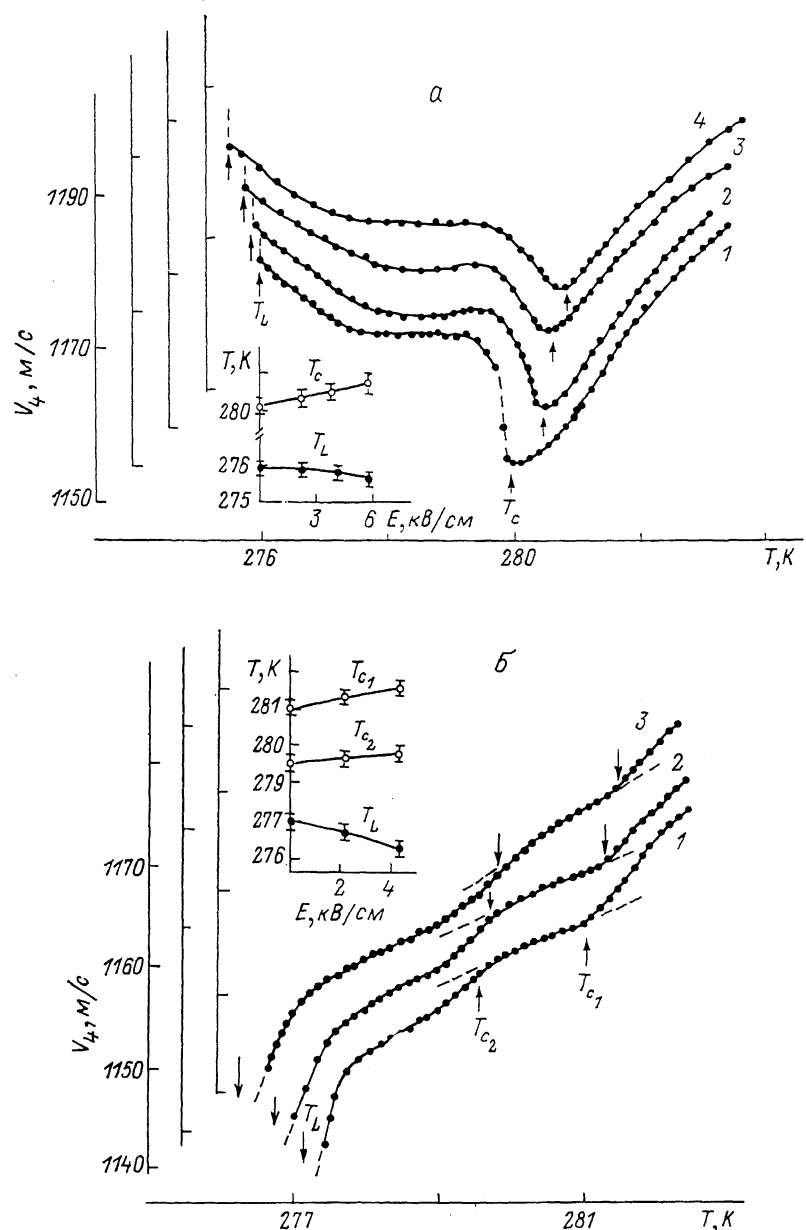


Рис. 2. Температурные зависимости скорости поперечной упругой волны  $V_4$  кристаллов ТМАТХ—Со (а) и ТМАТХ—Со (б), полученные в режиме охлаждения, при различных величинах напряженности смещающего электрического поля  $E_3=0$  (1), 2.3 (2), 4.1 (3, а), 4.6 (3, б), 5.8 кВ/см (4).

На вставке — фазовая  $E$ ,  $T$ -диаграмма кристалла.

к понижению свободной энергии сегнетоэлектрического состояния, делая его тем самым выгодным в более широком интервале температур.

Обратимся теперь к экспериментально полученным зависимостям  $f_{443}(T)$  в кристаллах ТМАТХ—Zn и ТМАТХ—Со. В полярной фазе изменения электроакустических коэффициентов в области фазовых переходов по аналогии с [2] могут быть представлены в виде суммы двух вкладов

$$\Delta f_{443}^* = (2c_{44})^{-1} \left[ \frac{\partial \Delta c_{44}^0}{\partial T_c} \frac{\partial T_c}{\partial E_3} + \frac{\partial \Delta C_{44}^0}{\partial \Delta \varphi} \frac{\partial \Delta \varphi}{\partial E_3} \right], \quad (2)$$

где  $\Delta c_{44}^0$ ,  $\Delta C_{44}^0$  — составляющие изменения упругого модуля  $\Delta c_{44}$  за счет изменений амплитуды и фазы параметра порядка. Поведение  $f_{443}^*$  в рамках такого подхода связано как с сдвигом температуры перехода под действием поля, так и с добавкой производной по полю от  $\Delta c_{44}^0$ . Провести точный количественный анализ обоих вкладов в изменение  $f_{443}^*$  в сегнетофазе довольно сложно, однако из экспериментальных данных (рис. 2, а, б) следует, что пики зависимостей  $f_{443}^*(T)$  в окрестности температур  $T_c$  для ТМАТХ—Zn, а также  $T_c$  и  $T_{c_2}$  для ТМАТХ—Co являются следствием их смещения под влиянием электрического поля. Линейный электроакустический эффект отсутствует практически во всей области несоразмерной фазы ТМАТХ—Zn и ТМАТХ—Co, что подтверждает ее макроскопическую центросимметричность и хорошо согласуется с результатами исследований линейного электрооптического эффекта, оптической активности и генерации второй гармоники в аналогичных кристаллах с несоразмерной фазой [7–11]. Исключение составляют узкая область температур выше  $T_c$  ( $T_{c_2}$ ), а также несоразмерная фаза в ТМАТХ—Co, существующая в интервале температур  $T_c \div T_{c_2}$ . Как и в случае электрооптических свойств [8], наблюдаемый здесь линейный электроакустический эффект объясняется существенной поляризацией солитонной решетки, которая является весьма лабильной к внешнему электрическому полю вблизи перехода из несоразмерной в полярную фазу.

### Список литературы

- [1] Смоленский Г. А., Боков В. А., Исупов В. А., Крайник Н. Н., Пасынков Р. Е., Соколов И. И., Юшин Н. К. Физика сегнетоэлектрических явлений. Л.: Наука, 1985. 396 с.
- [2] Агишев Б. А., Лайхтман Б. Д., Чеманов В. В., Полиховская Т. М., Юшин Н. К. // ФТТ. 1979. Т. 21. № 1. С. 142–146.
- [3] Mashiyama H., Hasebe K., Tanisaki S. // J. Phys. Soc. Jap. 1980. V. 49. Suppl. B. P. 92–94.
- [4] Влох О. Г., Китык А. В., Мокрый О. М. // Кристаллография. 1990. Т. 35. № 4. С. 894–899.
- [5] Влох О. Г., Есаян С. Х., Китык А. В., Мокрый О. М. // Изв. АН СССР, сер. физ. 1989. Т. 53. № 7. С. 1364–1368.
- [6] Papadakis E. P. // J. Acoust. Soc. Am. 1967. V. 42. N 5. P. 1045–1051.
- [7] Sanctuary R., Jundt D., Baumelit J. C., Günter P. // Phys. Rev. B. 1985. V. 32. N 3. P. 1649–1661.
- [8] Sanctuary R., Günter P. // Phys. Stat. Sol. (a). 1984. V. 84. N 4. P. 103–111.
- [9] Влох О. Г., Китык А. В., Половинко И. И. // Кристаллография. 1985. Т. 30. № 6. С. 1194–1196.
- [10] Влох О. Г., Китык А. В., Половинко И. И. // Кристаллография. 1984. Т. 29. № 6. С. 1198–1200.
- [11] Мельникова С. В., Анистратов А. Т. // ФТТ. 1983. Т. 25. № 3. С. 848–851.

Львовский государственный университет  
им. И. Франко

Поступило в Редакцию  
11 ноября 1990 г.